

Campos magnéticos na matéria.

vimos que :

distribuição de correntes I ou $\vec{J}(\vec{r})$ em vácuo $\rightarrow \vec{B}_{\text{vac}}(\vec{r})$
 Lei de
 Biot-Savart (152.2)

se I ou $\vec{J}(\vec{r})$ em meio magnético $\rightarrow \vec{B}(\vec{r}) \neq \vec{B}_{\text{vac}}(\vec{r})$
 L caso geral

Obs.: Lembrar $\vec{E}(\vec{r})$ em um dieletônico !

ideia descrição (macroscópica) material magnético:

- átomo = núcleo + elétrons em movimento

~ "pequenas" correntes localizadas
 ao redor núcleo = correntes atômicas

de fato,

$\rightarrow \vec{B}(\vec{r})$

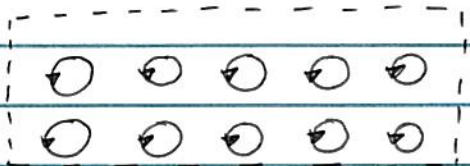
correntes atômicas \approx momento de dipolo magnético \vec{m}

Vimos que

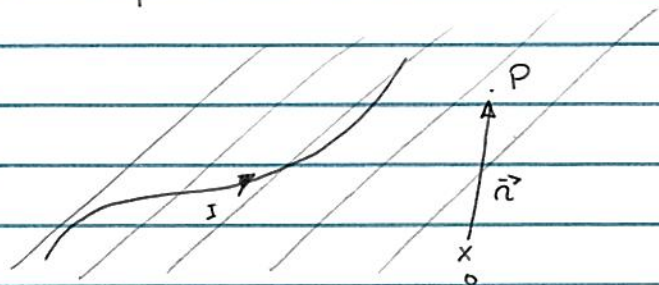
- $\vec{A}(\vec{r}) \sim$ distribuição de correntes $\approx \vec{A}(\vec{r})$ associado \vec{m}
 em esfera radio R $\quad p/ \quad n \gg R$

- mom. dipolo \vec{m} sob \vec{B}_{ext} $\rightarrow \vec{m} \parallel \vec{B}_{\text{ext}}$ ou
 \vec{m} "responde" \vec{B}_{ext}

↳ material magnético = conjunto dipólos magnéticos (pontuais)
~ connentes (atômicas) localizadas.



Dessa forma,



$$\hookrightarrow \vec{B}_{\text{tot}}(\vec{n}) = \vec{B}_{\text{ext}}(\vec{n}) + \vec{B}_{\text{self}}(\vec{n})$$

campo magnético

externo, e.g., fio

ou

\vec{B} ~ connentes de

transporte (eletrons livres)

campo magnético

~ dipólos pontuais \vec{m} ~

~ connentes localizadas.

Obs.: notam similaridade descrição macroscópica elétrico
polonizado = conjunto de dipólos elétricos pontuais

• Magnetização $\vec{M}(\vec{n})$,

dada a similaridade entre as descrições macroscópicas de um dieletônico polarizado e um material magnético magnetizado (conjunto respectivos dipolos), é útil introduzir um vetor análogo à $\vec{P}(\vec{n})$ para materiais magnéticos:

$$\vec{M}(\vec{n}) = \lim_{\Delta V \rightarrow 0} \frac{\Delta \vec{m}}{\Delta V} = \lim_{\Delta V \rightarrow 0} \frac{1}{\Delta V} \sum_{\vec{n} \in \Delta V} \vec{m}_i : \text{magnetização (191.1)}$$

onde $\Delta \vec{m} = \sum_i \vec{m}_i$, $m_i \in \Delta V$.

↳ Lembrar: $\Delta V \ll V_{AMOSTRA}$, põém
 $\Delta V \gg V_{ATÔMO/ MOLECULA}$

notas:

Eq. (190.2) → material mag. sob \vec{B}_{ext} :

$\vec{M} \parallel \vec{B}$ e $\vec{M} \propto \vec{B}$ sentidos iguais

entretanto, experimento indica resposta material (\vec{M}) ao campo \vec{B} é mais complexa

↳ Classificação materiais magnéticos:

- materiais paramagnéticos: $\vec{M} \neq 0$ se $\vec{B}_{ext} \neq 0$ (apenas)
 $\vec{M} \parallel \vec{B}$ e sentidos iguais

Paramagnetismo

Ex.: Na, Al

- materiais diamagnéticos: $\vec{M} \neq 0$ se $\vec{B}_{ext} \neq 0$ (apenas)
 $\vec{M} \parallel \vec{B}$ e sentidos opostos

Diamagnetismo

Ex.: H₂O, Cu, diamante

- materiais ferromagnéticos : \exists magnetizações permanentes,
i.e. $\vec{M} \neq 0$ se $\vec{B}_{ext} = 0$!

Ferromagnetismo (FM)

Ex.: Fe, Co, Ni

notam:

(190.2) ~ paramagnetismo

\hookrightarrow mecanismo diamagnetismo e FM ?

de fato, origem \vec{m} átomos e moléculas:

(i) momento angular orbital elétrons ~ diamagnetismo

(ii) " " intrínseco (spin)

elétrons, prótons ~ paramagnetismo, FM

próximas etapas:

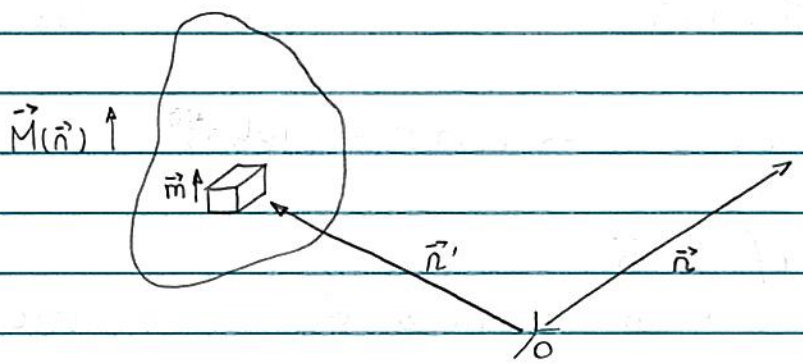
(i) consideram material magnetizado e descrito por vetor magnetização $\vec{M}(\vec{r})$

(ii) algumas considerações microscópicas sobre diamagnetismo e FM.

• Campo magnético de um material magnetizado

consideram material, magnetização $\vec{M}(\vec{r})$

1ª etapa: determinar $\vec{A} = \vec{A}(\vec{r})$



$$\text{p/ } dV' \text{ em } \vec{n}' : d\vec{m}(\vec{n}') = \vec{M}(\vec{n}') dV'$$

Eq. (182.2), $\vec{A}(\vec{n})$ p/ dipolo pontual :

$$d\vec{A} = \frac{\mu_0}{4\pi} \frac{d\vec{m} \times (\vec{n} - \vec{n}')}{|\vec{n} - \vec{n}'|^3} = \frac{\mu_0}{4\pi} \frac{\vec{M}(\vec{n}') \times (\vec{n} - \vec{n}')}{|\vec{n} - \vec{n}'|^3} d^3n'$$

$$\hookrightarrow \vec{A}(\vec{n}) = \frac{\mu_0}{4\pi} \int d^3n' \frac{\vec{M}(\vec{n}') \times (\vec{n} - \vec{n}')}{|\vec{n} - \vec{n}'|^3} \quad (193.1)$$

de modo análogo ao dieletônico polarizado, vamos utilizar

$$\frac{\vec{n}' \cdot 1}{|\vec{n} - \vec{n}'|} = + (\vec{n} - \vec{n}')$$

p/ reescrever (193.1) :

$$\vec{A}(\vec{n}) = \frac{\mu_0}{4\pi} \int d^3n' \frac{\vec{M}(\vec{n}') \times \vec{v}' \cdot 1}{|\vec{n} - \vec{n}'|}$$

como

$$\vec{A} \times (\vec{v}' f) = f (\vec{v}' \times \vec{A}) - \vec{v}' \times (f \vec{A}) , \text{ veja pg. } \underline{\underline{164}}$$

$$\hookrightarrow \vec{A}(\vec{n}) = \frac{\mu_0}{4\pi} \int_V d^3 n' \frac{\nabla' \times \vec{M}(\vec{n}')}{|\vec{n} - \vec{n}'|} - \frac{\mu_0}{4\pi} \int_V d^3 n' \frac{\vec{\nabla}' \times (\vec{M}(\vec{n}'))}{|\vec{n} - \vec{n}'|}$$

fronteira
 volume V

$$- \oint_S \frac{\vec{M}(\vec{n}') \times d\vec{s}}{|\vec{n} - \vec{n}'|}$$

definindo:

$$\vec{K}_b(\vec{n}) = \vec{K}_M(\vec{n}) = \vec{M} \times \hat{n} : \text{densidade superficial de correntes ligadas / correntes de magnetização}$$

$$\vec{J}_b(\vec{n}) = \vec{J}_M(\vec{n}) = \vec{\nabla} \times \vec{M} : \text{densidade de correntes ligadas / correntes de magnetização}$$

$$\hookrightarrow \vec{A}(\vec{n}) = \frac{\mu_0}{4\pi} \int_V d^3 n' \frac{\vec{J}_M(\vec{n}')}{|\vec{n} - \vec{n}'|} + \frac{\mu_0}{4\pi} \oint_S \frac{\vec{K}_M(\vec{n}') \cdot d\vec{s}}{|\vec{n} - \vec{n}'|} \quad (194.1)$$

Obs.: nota-se similaridade Eq. (109.1)

Lei de Biot-Savart (152.3) e (152.4):

$$\hookrightarrow \vec{B}(\vec{n}) = \frac{\mu_0}{4\pi} \oint_S \frac{(\vec{M}(\vec{n}') \times \hat{n}) \times (\vec{n} - \vec{n}')}{| \vec{n} - \vec{n}' |^3} d\vec{s} +$$

$$+ \frac{\mu_0}{4\pi} \int_V \frac{(\vec{\nabla}' \times \vec{M}(\vec{n}')) \times (\vec{n} - \vec{n}')}{| \vec{n} - \vec{n}' |^3} d^3 n' \quad (194.2)$$

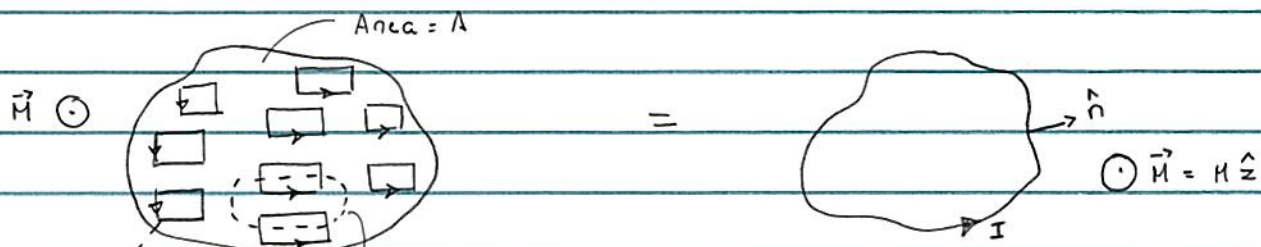
Eq. (194.2): campo magnético devido material magnetizado.

• sobre as correntes ligadas / correntes de magnetização

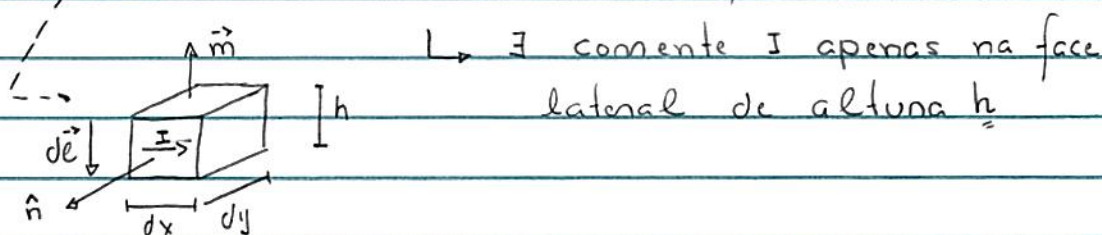
ideia: verificam que \vec{K}_M e \vec{J}_M correspondem a distribuições de corrente.

(i) sobre \vec{K}_M

consideram material anel A, círculo h, magnetização $\vec{M} = M\hat{z} = \text{cte}$



\rightarrow notam $\int \vec{m} \cdot d\vec{l} = 0$:



temos que: $\vec{m} = \vec{M} dx dy dz = I dx dy \hat{z}$

$$\text{Eq. (194.1)} : I = \int_r \vec{K} \cdot (\hat{n} \times d\vec{l}) = - \vec{K} \cdot (\hat{n} \times \hat{z}) h$$

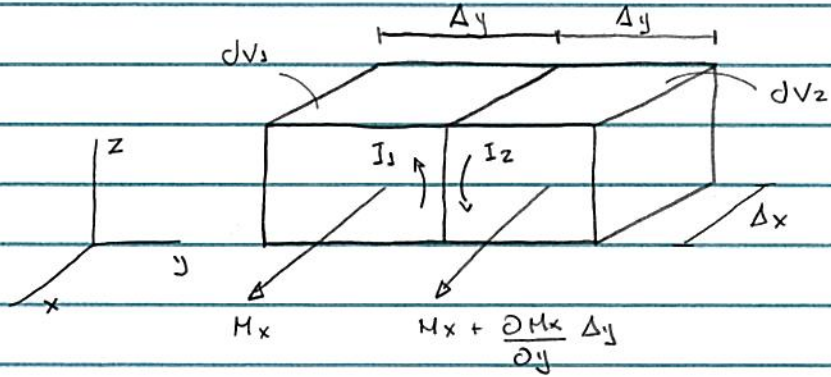
$$\rightarrow M = \hat{z} \cdot (\hat{n} \times \vec{K}) \quad \text{ou} \quad \vec{M} = (\hat{n} \times \vec{v}) \rightarrow \vec{K} = \vec{M} \times \hat{n}$$

notam K_M : \sum "pequenas" correntes localizadas = corrente líquida na superfície!

(ii) Sobne \vec{J}_M

considerar material, magnetização $\vec{H} = \vec{H}(\vec{r})$

p/ dois elementos de volume infinitesimais c material:

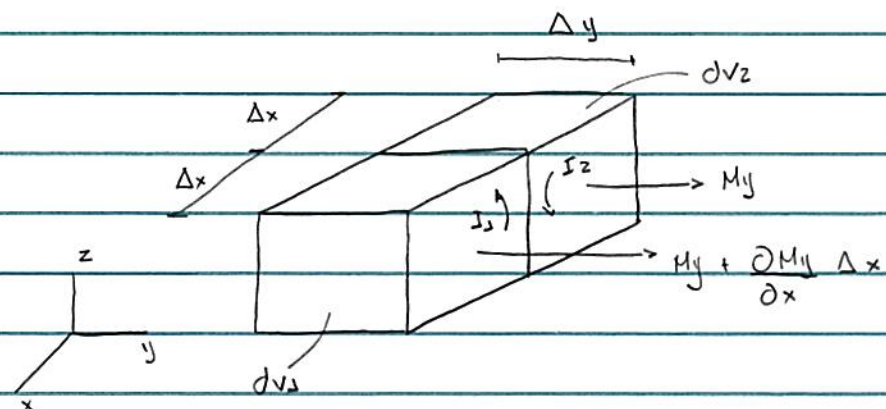


$$\text{p/ volume } dV_1 : M_x \Delta x \Delta y \Delta z = J_z \Delta y \Delta z$$

$$\text{" " " } dV_2 : \left(M_x + \frac{\partial M_x}{\partial y} \Delta y \right) \Delta x \Delta y \Delta z = J_z \Delta y \Delta z$$

$$\hookrightarrow J_z - J_z = - \frac{\partial M_x}{\partial y} \Delta y \Delta z = I_z \quad (1)$$

de modo análogo,



$$\text{p/ volume } dV_1 : \left(M_y + \frac{\partial M_y}{\partial x} \Delta x \right) \Delta x \Delta y \Delta z = J_z \Delta x \Delta z$$

$$\rightarrow J_1 - J_2 = \frac{\partial M_y}{\partial x} \Delta x \Delta y = I_z \quad (2)$$

$$\text{" " " } dV_2 : M_y \Delta x \Delta y \Delta z = J_z \Delta x \Delta z$$

$$\hookrightarrow (1) + (2) : IZ = \left(\frac{\partial M_y}{\partial x} - \frac{\partial M_x}{\partial y} \right) \Delta x \Delta y$$

$$\hookrightarrow (\vec{J}_M)z = \frac{\vec{J}z}{\Delta x \Delta y} = (\vec{v} \times \vec{M})z$$

• Alternativa : \vec{B} devido material magnetizado (Reitz).

$\vec{\nabla} \times$ Eq. (193.1) :

$$\vec{B}(\vec{r}) = \vec{\nabla} \times \vec{A}(\vec{r}) = \frac{\mu_0}{4\pi} \int_V \vec{\nabla} \times \left(\vec{M}(\vec{r}') \times \frac{(\vec{r} - \vec{r}')}{|\vec{r} - \vec{r}'|^3} \right) d^3 r'$$

$$(veja \text{ pg. } 164) \quad \frac{\vec{n}(\vec{n}') \cdot \vec{\nabla} \cdot (\vec{n} - \vec{n}')}{|\vec{n} - \vec{n}'|^3} - \left(\vec{n}(\vec{n}') \cdot \vec{\nabla} \right) \frac{(\vec{n} - \vec{n}')}{|\vec{n} - \vec{n}'|^3}$$

notan :

$$(5) : \frac{\mu_0}{4\pi} \int_V d^3r' \vec{M}(r') \underbrace{\frac{\vec{\nabla} \cdot (\vec{r} - \vec{r}')}{|r - r'|^3}}_{4\pi \delta(\vec{r} - \vec{r}')} = \mu_0 \vec{M}(r)$$

como (veja pg. 16M, Eq. (g))

$$\vec{\nabla} \left(\vec{M}(\vec{n}') \cdot \frac{(\vec{n} - \vec{n}')}{|\vec{n} - \vec{n}'|^3} \right) = (\vec{n} \cdot \vec{\nabla}) \frac{(\vec{n} - \vec{n}')}{|\vec{n} - \vec{n}'|^3} + \vec{M} \times \underbrace{\left(\vec{\nabla} \times \frac{(\vec{n} \times (\vec{n} - \vec{n}'))}{|\vec{n} - \vec{n}'|^3} \right)}_{\text{Term 2}}$$

$$\hookrightarrow (\text{II}) : -\frac{\mu_0}{4\pi} \vec{V} \int d^3\vec{n}' \vec{M}(\vec{n}') \cdot \frac{(\vec{n} - \vec{n}')}{|\vec{n} - \vec{n}'|^3} = 0$$

definindo,

$$\varphi_H(\vec{r}) = \frac{1}{4\pi} \int \frac{d^3 n' \vec{M}(n') \cdot (\vec{r} - \vec{n}')}{|\vec{r} - \vec{n}'|^3} : \text{função escalar} \quad (198.1)$$

$$\hookrightarrow \vec{B}(\vec{r}) = -\mu_0 \vec{\nabla} \varphi_M(\vec{r}) + \mu_0 \vec{M}(\vec{r}) : \text{campo magnético devido material magnetizado} \quad (198.2)$$

é possível escrever (198.1) :

$$\text{como } \vec{M}(n') \cdot (\vec{r} - \vec{n}') = \vec{M} \cdot \vec{\nabla}' \frac{1}{|\vec{r} - \vec{n}'|} = \vec{\nabla}' \left(\frac{\vec{M}}{|\vec{r} - \vec{n}'|} \right) - \frac{\vec{\nabla}' \cdot \vec{M}}{|\vec{r} - \vec{n}'|}$$

↑
Eq. (16M.5)

$$\hookrightarrow \varphi_H(\vec{r}) = \frac{1}{4\pi} \oint_S \frac{\vec{M}(n') \cdot \hat{n} ds}{|\vec{r} - \vec{n}'|} + \frac{1}{4\pi} \int_V \frac{d^3 n' (-\vec{\nabla}' \cdot \vec{M}(n'))}{|\vec{r} - \vec{n}'|}$$

↳ fronteira
definindo volume V

$$\sigma_H(\vec{r}) = \hat{n} \cdot \vec{M}(\vec{r}) : \text{densidade sup. de carga magnética fictícia}$$

$$\rho_H(\vec{r}) = -\vec{\nabla} \cdot \vec{M}(\vec{r}) : \text{vol. " " " " " "}$$

$$\hookrightarrow \varphi_H(\vec{r}) = \frac{1}{4\pi} \oint_S \frac{\sigma_H(n') ds}{|\vec{r} - \vec{n}'|} + \frac{1}{4\pi} \int_V \frac{d^3 n' \rho_H(n')}{|\vec{r} - \vec{n}'|} \quad (198.3)$$

Obs. 1 : comparar Eqs. (109.1) e (198.3)

Obs. 2 : $\varphi_H(\vec{r})$, $\sigma_H(\vec{r})$ e $\rho_H(\vec{r})$ são funções auxiliares úteis
p/ determinar \vec{B} em (198.2) !

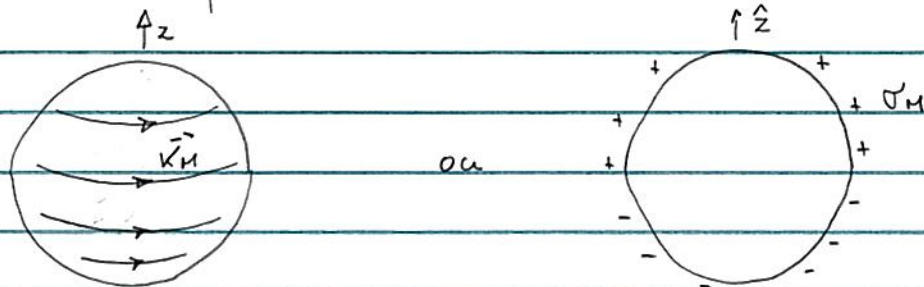
Ex.: exemplo 6.3 G.: considerar esfera radio R , uniformemente magnetizada; determinar $\vec{B}(\vec{r})$

hipótese: $\vec{M} = M\hat{z}$

nesse caso: $\vec{K}_M = \vec{M} \times \hat{n} = M\hat{z} \times \hat{n} = M \sin\theta \hat{\varphi}$
 $\vec{J}_M = \vec{\nabla} \times \vec{H} = 0$

$$\sigma_M = \vec{M} \cdot \hat{n} = \vec{H} \cdot \hat{n} = M \cos\theta$$

$$\rho_M = -\vec{\nabla} \cdot \vec{M} = 0$$



Eq. (198.3):

$$\psi_M(\vec{r}) = \frac{1}{4\pi} \int_S \frac{\sigma_M(\vec{r}')}{|\vec{r} - \vec{r}'|} dS = \frac{1}{4\pi} \int \frac{M \cos\theta'}{|\vec{r} - \vec{r}'|} (R^2 \sin\theta' d\theta' d\varphi')$$

2 casos:

(i) $r > R$,

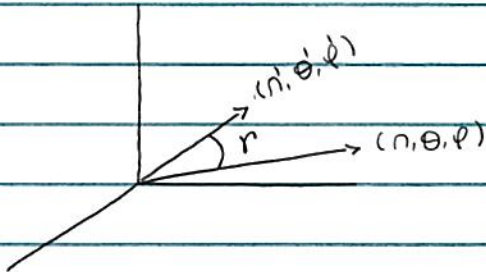
$$|\vec{r} - \vec{r}'|^2 = (r^2 + r'^2 - 2rr' \cos\gamma)^{-1/2}$$

$$= (r^2 + R^2 - 2rR \cos\gamma)^{-1/2} = \frac{1}{r} \left(1 + \frac{R^2}{r^2} - 2 \frac{R}{r} \cos\gamma \right)^{-1/2}$$

$$= \frac{1}{r} \sum_{l \geq 0} (R/r)^l P_l(\cos\gamma)$$

Veja pg. 82.8

notam: r : & entre \vec{n} e \vec{r} , $\neq \theta = \theta'$!



Lembran teorema de adição pr harmônicos esféricos, pg. 99.2:

$$P_n(\cos r) = P_n(\cos\theta) P_n(\cos\theta') + 2 \sum_{m=1}^n (n-m)! P_n^m(\cos\theta) P_n^m(\cos\theta') \cos(m(\varphi-\varphi')) (n+m)!$$

Aqui, apenas o primeiro termo é $\neq 0$

$$\hookrightarrow \psi_H(n, \theta) = \frac{M R^2}{4\pi} \frac{1}{n} \sum_{l>0} \left(\frac{R}{n} \right)^l P_l(\cos\theta) \underbrace{\int_0^\pi d\theta' \sin\theta' \cos\theta' P_l(\cos\theta') * (2\pi)}_{\delta_{l,l'} \cdot 2/3}$$

$$= \frac{1}{3} M R^3 \frac{1}{n^2} \cos\theta$$

$$\text{Eq. (198.2)}: \vec{B}(\vec{r}) = -\mu_0 \vec{\nabla} \psi_H(\vec{r}), \quad r > R$$

$$= -\mu_0 \left(-\frac{2}{3} \frac{M R^3}{n^3} \cos\theta \hat{n} - \frac{1}{3} \frac{M R^3}{n^3} \frac{1}{n^2} \sin\theta \hat{\theta} \right)$$

$$= \frac{1}{3} \frac{M R^3}{n^3} \frac{\mu_0}{n^2} \underbrace{(2 \cos\theta \hat{n} + \sin\theta \hat{\theta})}_{3(\hat{z} \cdot \hat{n}) \hat{n} - \hat{z}}$$

definindo:

$$\vec{m} = \frac{4}{3} \pi R^3 \vec{M} : \text{momento de dipolo magnético esférica}$$

$$\hookrightarrow \vec{B}(\vec{r}) = \frac{\mu_0}{4\pi n^3} \left(3(\vec{m} \cdot \hat{n}) \hat{n} - \vec{m} \right) : \text{comparar Eq. (182.1)}$$

(iii) $r < R$,

nesse caso

$$|\vec{r} - \vec{r}'|^3 = \frac{1}{R} \left(1 + \frac{r^2}{R^2} - 2 \frac{r}{R} \cos \theta \right)^{-1/2} = \frac{1}{R} \sum_{\ell \geq 0} \left(\frac{r}{R} \right)^\ell P_\ell (\cos \theta)$$

$$\hookrightarrow \Phi_H(r, \theta) = \frac{M R^2}{6 \pi} \frac{1}{R} \sum_{\ell \geq 0} \left(\frac{r}{R} \right)^\ell P_\ell (\cos \theta) \underbrace{\int_0^\pi d\theta' \sin \theta' \cos \theta' P_\ell (\cos \theta') + (2\pi)}_{\delta_{\ell,1} \cdot 2/3}$$

$$= \frac{1}{3} M r \cos \theta$$

$$\text{Eq. (198.2): } \vec{B}(\vec{r}) = -\mu_0 \nabla \Phi_H(\vec{r}) + \mu_0 \vec{M}$$

$$= -\mu_0 \left(\frac{1}{3} M \cos \theta \hat{r} - \frac{1}{3} M \sin \theta \hat{\theta} \right) + \mu_0 \vec{M}$$

$$\underbrace{\frac{1}{3} M}_{\hat{z}} (\cos \theta \hat{r} - \sin \theta \hat{\theta})$$

$$\hookrightarrow \vec{B}(\vec{r}) = \frac{2}{3} \mu_0 \vec{M}$$

$$\hookrightarrow \vec{B}(\vec{r}) = \begin{cases} \frac{2}{3} \mu_0 \vec{M}, & r < R \\ \frac{1}{3} \mu_0 \frac{R^3}{r^3} (3(\vec{M} \cdot \hat{r}) \hat{r} - \vec{M}), & r > R \end{cases} \quad (198.4)$$

Campo vetorial auxiliar $\vec{H} = \vec{H}(\vec{n})$,

pt material magnetizado, magnetização $\vec{M}(\vec{n})$,

$$\exists \text{ componentes de magnetização } \vec{\kappa}_M = \vec{M} \times \hat{n}$$

$$\vec{j}_M = \vec{\nabla} \times \vec{M}$$

\hookrightarrow podemos escrever:

$$\vec{j}(\vec{n}) = \vec{j}_M(\vec{n}) + \vec{j}_f(\vec{n}) : \text{densidade total}$$

$$\vec{j} \sim \vec{M} ! \quad \leftarrow \quad \begin{array}{l} | \\ \hookrightarrow \vec{j} \sim \text{eletrons} \end{array} \quad \text{de corrente}$$

livres

(199.1)

Ex.: corrente elétrica Fe, material FM!

Eq. (199.1) \oplus Lei de Ampère:

$$\frac{1}{\mu_0} (\vec{\nabla} \times \vec{B}) = \vec{j} = \vec{j}_f + \vec{j}_M = \vec{j}_f + \vec{\nabla} \times \vec{M}$$

$$\hookrightarrow \vec{\nabla} \times \left(\frac{1}{\mu_0} \vec{B} - \vec{M} \right) = \vec{j}_f$$

$$\text{Definindo: } \vec{H}(\vec{n}) \equiv \frac{1}{\mu_0} \vec{B}(\vec{n}) - \vec{M}(\vec{n}) \quad (199.2)$$

$$\hookrightarrow \vec{\nabla} \times \vec{H} = \vec{j}_f(\vec{n}) : \text{Lei de Ampère}$$

pt meios magnéticos

Eq. (199.3) na

forma

integral:

$$\oint_{\Gamma} \vec{H} \cdot d\vec{e} = I_f$$

\hookrightarrow corrente cargas
livres através Γ

(199.4)

notam: $\vec{H}(\vec{r})$: análogo campo vetorial auxiliar
 $\vec{D}(\vec{r})$ da eletrostática

↳ eq. fundamentais magnetostáticas p/ meios magnéticos

$$-\vec{\nabla} \cdot \vec{B} = 0$$

(200.1)

$$-\vec{\nabla} \times \vec{H} = \vec{J}_f(\vec{r})$$

notam:

$$\vec{\nabla} \cdot \vec{B} = 0 \rightarrow \vec{\nabla} \cdot \vec{H} = -\vec{\nabla} \cdot \vec{M}, \text{ i.e. } \vec{\nabla} \cdot \vec{M} \neq 0, \text{ caso geral!}$$

Obs.: incluindo contribuição $\vec{B} \sim \vec{J}_f$ cm (198.2), temos que
o campo magnético total é dado por

$$\vec{B}(\vec{r}) = \frac{\mu_0}{4\pi} \int d^3 r' \vec{J}_f(\vec{r}') \times \frac{(\vec{r} - \vec{r}')}{|\vec{r} - \vec{r}'|^3} - \mu_0 \vec{\nabla} \varphi_M(\vec{r}) + \mu_0 \vec{M}(\vec{r})$$

(200.2)

(199.2) ⊕ (200.2)

$$\hookrightarrow \vec{H}(\vec{r}) = \frac{1}{4\pi} \int d^3 r' \vec{J}_f(\vec{r}') \times \frac{(\vec{r} - \vec{r}')}{|\vec{r} - \vec{r}'|^3} - \vec{\nabla} \varphi_M(\vec{r}) \quad (200.3)$$

$$\text{se } \vec{J}_f(\vec{r}) = 0$$

$$\hookrightarrow \vec{H}(\vec{r}) = -\vec{\nabla} \varphi_M(\vec{r}) \quad (200.4)$$

200.1

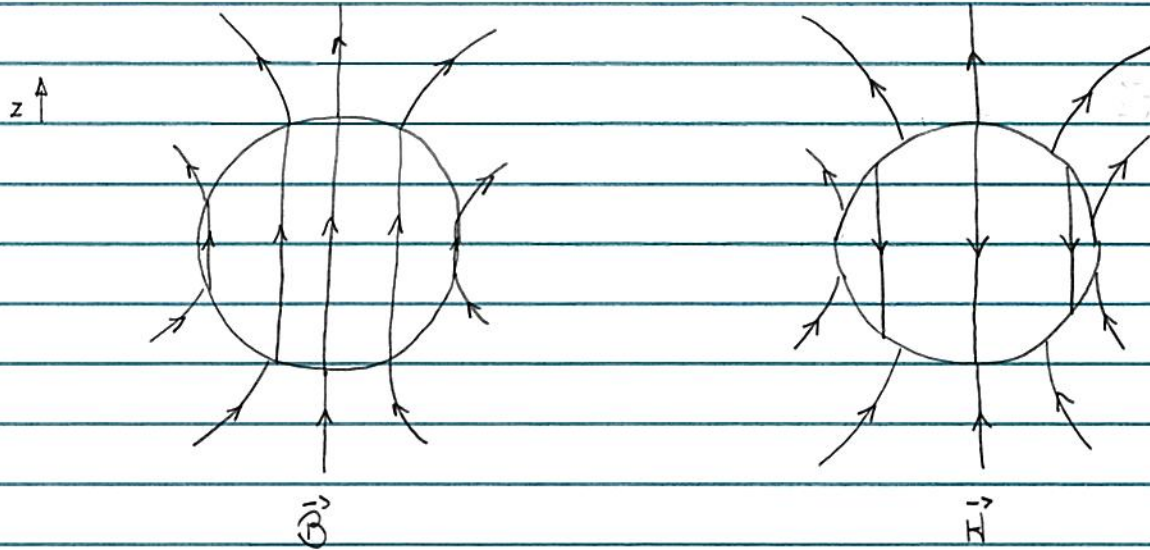
Ex.: p/ esfera uniformemente magnetizada, pg. 198.1

Eq. (200.4) :

$$\vec{H}(\vec{r}) = \begin{cases} -\frac{1}{3} \vec{M}, & r < R \\ \frac{1}{3} \frac{R^3}{r^3} (3(\vec{M} \cdot \hat{r}) \hat{r} - \vec{M}), & r > R \end{cases} \quad (200.5)$$

comparan Eq. (200.5) c/ exemplo pg. 198.1, esfera dielectrica
uniformemente polarizada:

notam $\vec{E} \rightarrow \vec{H}$ se $\frac{\vec{P}}{\epsilon_0} \rightarrow \vec{M}$!



Adicionam exemplo?

• Meios magnéticos lineares,

Lembran que p/ materiais paramagnéticos e diamagnéticos
 $\vec{M} \neq 0$ apenas se $\vec{B}_{ext} \neq 0$!

De fato, verifica-se experimentalmente que, p/ certos materiais,

$$\vec{M} \propto \vec{H}$$

ou

$$\vec{M} = \chi_m \vec{H} \quad (201.1)$$

\hookrightarrow susceptibilidade magnética

do material : - cte adimensional

- propriedade do material

$\chi_m > 0$: paramagnetos

$\chi_m < 0$: diamagnetos

$$|\chi_m| \sim 10^{-5}$$

	Na	Al	H ₂ O	Cu
χ_m	$8.5 \cdot 10^{-6}$	$2.1 \cdot 10^{-5}$	$-9 \cdot 10^{-6}$	$-9.7 \cdot 10^{-6}$
PARAMAG.			DIAMAG.	

material descrito pela relação constitutiva (201.1) : meio magnético linear

p/ meios lineares, temos que

$$Eq. (199.2) : \vec{B} = \mu_0 \vec{H} + \mu_0 \vec{M} = \mu_0 (1 + \chi_m) \vec{H}$$

definindo $\mu \equiv \mu_0 (1 + \chi_m)$: permiabilidade do material

(201.2)

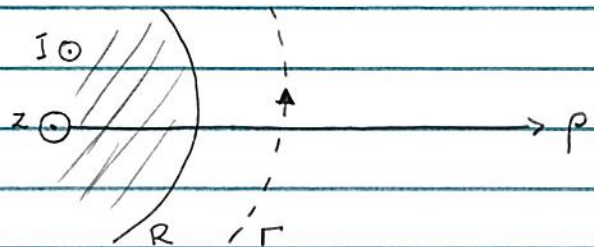
(205.1)

$$\hookrightarrow \vec{B}(\vec{r}) = \mu_0 \vec{H}(\vec{r}) \quad : \text{ p/ meios lineares} \quad (205.2)$$

Obs.: caso geral, Eq. (205.1) :

$$M_i = X_{ij} H_j + X_{ijk}^{(2)} H_j H_k + \dots$$

Ex. exemplo 6.2 G.: consideram cilindro material magnético, raio R , altura $h \gg 1$ e condut. uniforme; determinar $\vec{B} \cdot \vec{B}(\vec{r})$.



por simetria: $\vec{B} \propto \hat{\phi} \rightarrow \vec{H} \propto \vec{M} \propto \hat{\phi}$;
curva Γ = círculos raio p

Lei de Ampère (199.4) :

$$\oint_{\Gamma} \vec{H} \cdot d\vec{e} = I_f = \int_0^{2\pi} (H \hat{\phi}) \cdot (pd\phi \hat{\phi}) = 2\pi p H$$

dois casos:

(i) $p > R$,

$$\text{neste caso } I_f = I \rightarrow \vec{H}(p) = \frac{I}{2\pi p} \hat{\phi}$$

$$\text{como } \vec{M}(\vec{r}) = 0 \text{ p/ } p > R \rightarrow \vec{B}(p) = \mu_0 \vec{H} = \frac{\mu_0 I}{2\pi p} \hat{\phi}$$

(iii) $\rho < R$,

$$\vec{J}_f = \frac{I}{\pi R^2} \hat{z}$$

$$\hookrightarrow I_f = \int_S \vec{J}_f \cdot d\vec{s} = \int \left(\frac{I}{\pi R^2} \hat{z} \right) \cdot (\rho' d\rho' d\varphi' \hat{z})$$

 \hookrightarrow círculo na op

$$= \frac{I}{\pi R^2} \int_0^R \rho' d\rho' \int_0^{2\pi} d\varphi' = \frac{I \rho^2}{R^2}$$

$$\hookrightarrow 2\pi \rho H = \frac{I \rho^2}{R^2} \rightarrow \vec{H}(\rho) = \frac{I}{2\pi R^2} \rho \hat{\varphi}$$

$$\text{e } \vec{B}(\rho) = \mu_0 (\vec{H} + \vec{M})$$

hipótese: meio linear

$$\hookrightarrow \vec{B}(\rho) = \underbrace{\mu_0 (\mu + \chi_m)}_{\mu} \vec{H}(\rho) = \frac{I \mu}{2\pi R^2} \rho \hat{\varphi}$$

$$\text{e } \vec{M}(\rho) = \chi_m \vec{H}(\rho) = \frac{I \chi_m}{2\pi R^2} \rho \hat{\varphi} = M_\varphi(\rho) \hat{\varphi}$$

$$\hookrightarrow \vec{K}_M = \vec{M} \times \hat{n} = \vec{M}(\rho) \times \hat{r} \Big|_{\rho=R} = \frac{I \chi_m}{2\pi R} (\hat{\varphi} \times \hat{r}) = - \frac{I \chi_m}{2\pi R} \hat{z}$$

$$\vec{J}_M = \vec{V} \times \vec{M} = \frac{I \chi_m}{2\pi R^2} \frac{1}{\rho} \frac{\partial}{\partial \rho} (\rho^2) \hat{z} = \frac{I \chi_m}{\pi R^2} \hat{z}$$

$$\hookrightarrow \vec{B}(\rho) = \begin{cases} \frac{\mu_0 I}{2\pi R^2} \rho (1 + \chi_m) \hat{\phi}, & \rho < R \\ \frac{\mu_0 I}{2\pi \rho} \hat{\phi}, & \rho > R \end{cases}$$

se $B_0(\rho)$: campo B material não magnético ($\chi_m = 0$)

$$\hookrightarrow -B = B_0 \quad p/ \quad \rho > R$$

- $B > B_0$ p/ $\rho < R$ e mat. paramagnético;
nesse caso I e J_m sentidos \neq !

- $B < B_0$ p/ $\rho < R$ e mat. diamagnético;
nesse caso I e J_m sentidos \neq !

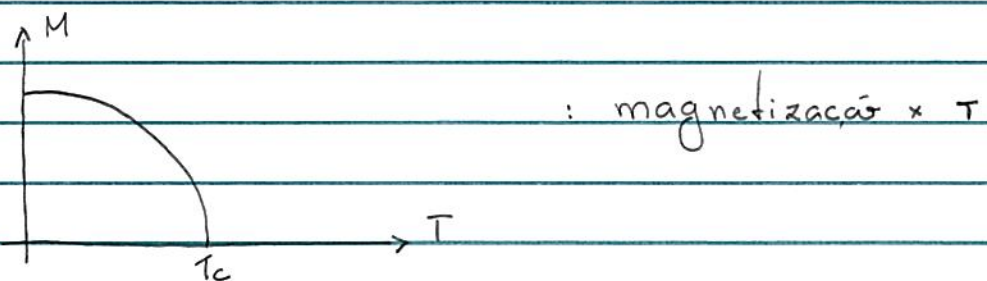
Fenômenos magnéticos (FM),

magnetizado permanente, i.e.,
 fenômeno magnético: $\vec{M} \neq 0$ p/ $\vec{B}_{ext} = 0$;

- material não-linear, i.e., Eq. (201.1) não é válida.

Características FM:

(i) $\exists T_c$: temperatura crítica = temperatura de Curie



$T < T_c$: material FM (fase ordenada)

$T > T_c$: " paramagnético (ausência de ordem magnética)

Ex.:

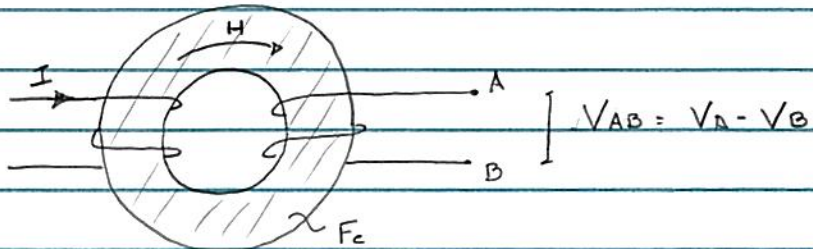
	Fe	Co	Ni
$T_c (\text{K})$	1043	1394	63

Exemplo transição de fase de segunda ordem: FM - PARA
 M : parâmetro de ordem

sequência: vamos considerar $T < T_c$!

(ii) curva de magnetização,

consideram o seguinte experimento:



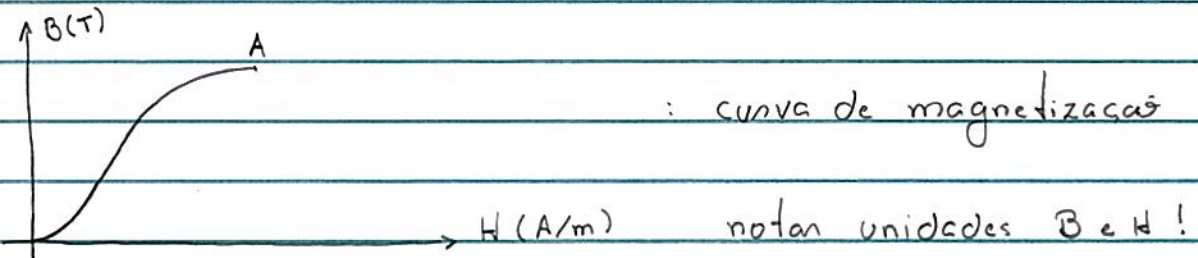
notam: $H \propto I$

$V_{AB} \propto \Phi_B$ c fônoide Fc (veja próximo capítulo)

$\Rightarrow I \times V_{AB}$ ou $H \times B$, i.e.,

Variação I. + medida $V_{AB} \rightarrow$ curva B-H

hipótese: material inicialmente desmagnetizado, $\vec{H} = 0$;
verifica-se que (experiments)



como $\vec{B} = \mu_0(\vec{H} + \vec{M})$ é possível determinar $\vec{M} = \vec{M}(H)$!

notam: aumento não-linear B p/ H pequeno
seguido saturação $\sim M_{MAX}$!

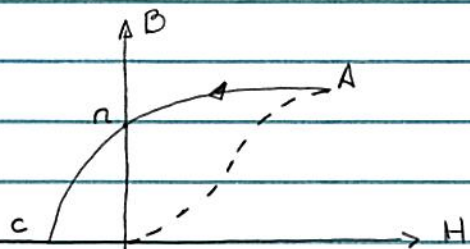
(iii) histerese.

consideram: material $\vec{M} \neq 0$ (ponto A curva de magnetização)

procedimento: decrescimo $|\vec{H}|$;

inversão sentido \vec{H} e aumento $|\vec{H}|$

verifica-se que (exp.):

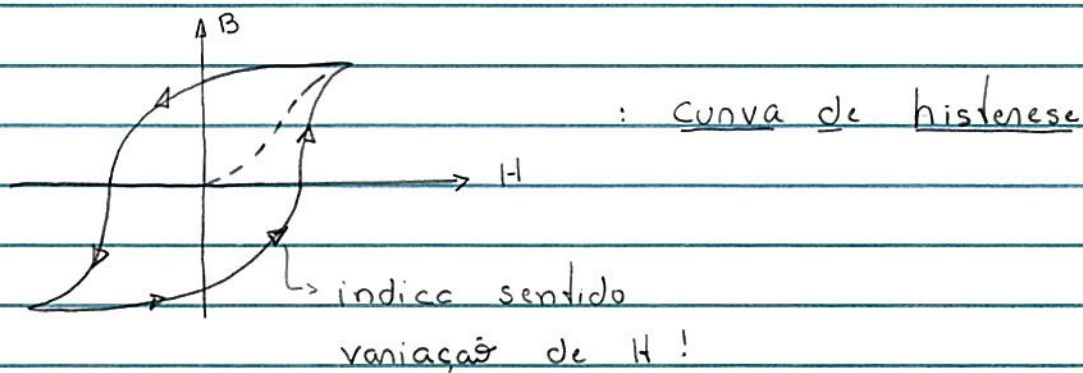


notam: - processo inreversível: linha continua \neq tracejada

- $\vec{B} \neq 0$ p/ $H=0$ ou $\vec{M} \neq 0$ p/ $H=0$ (ponto n): remanência

- pto C: $B=0$ e $H \neq 0$: coercividade

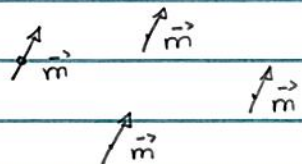
De fato, variando-se \vec{H} (módulo e sentido), verifica-se que



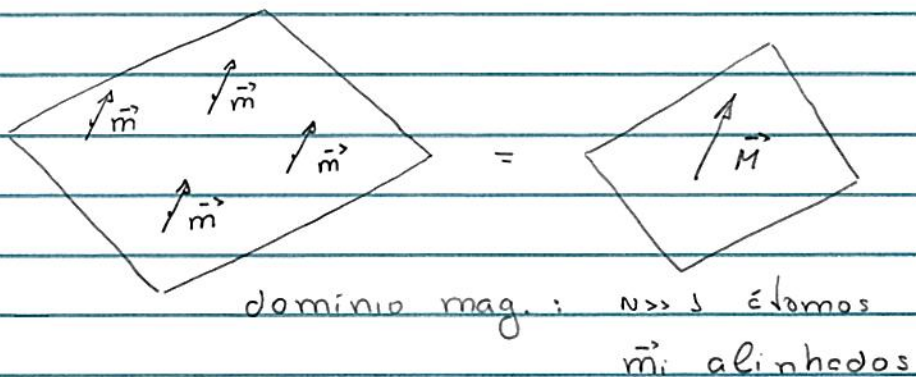
notam: material inicialmente desmagnetizado pode ser magnetizado através do processo acima!

· sobre domínios magnéticos,

pr material FM momentos de dipolo \vec{m} (vizinhos) são alinhados (paralelos) ~ mec. quântica:



Entretanto, esse comportamento não ocorre na amostra intacta mas em "pequenas" regiões = domínios



↳ descrição macroscópica

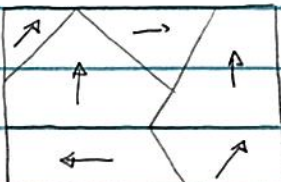
materiais FM =

= conjunto

domínios mag.

~ minimização

energic!

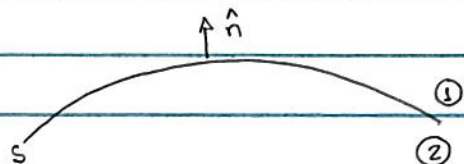


pr detalhes: Veja Sec. 11.11, Puncell

Sec. 13.9, Zangwill.

• condições de contorno,

consideram superfície arbitrária S $\oplus \vec{K}_f = \vec{J}_f(\hat{n})$



de modo análogo às considerações feitas p/ campos magnéticos no vácuo, pgs. 175 - 177

(i) como $\vec{\nabla} \cdot \vec{B} = 0$ p/ meios magnéticos

$$\hookrightarrow \hat{n} \cdot (\vec{B}_1 - \vec{B}_2) = 0 \quad (206.1)$$

(ii) como $\vec{\nabla} \times \vec{H} = \vec{J}_f$

$$\hookrightarrow \hat{n} \times (\vec{H}_1 - \vec{H}_2) = \vec{J}_f \quad (206.2)$$

notam:

$$\text{Eq. (206.1)} \rightarrow \hat{n} \cdot (\vec{H}_1 - \vec{H}_2) = -\hat{n} \cdot (\vec{M}_1 - \vec{M}_2)$$

Obs.: notam sentido \hat{n} ;

$\vec{B}_i, \vec{H}_i, \vec{M}_i$: vizinhança sup. S !

• Problemas de valores de contorno na presença meios magnéticos

2 hipóteses:

hipótese (1): $\vec{J}_f = 0$

\hookrightarrow eqs. magnetostática (200.1) :

$$\vec{\nabla} \cdot \vec{B} = 0$$

$$\vec{\nabla} \times \vec{H} = 0 \rightarrow \vec{H} = -\vec{\nabla} \varphi_M : \text{Eq. (200.4)}$$

hipótese (2) : meio linear ou $\vec{M} = \text{cte}$

- meio linear : $\vec{B} = \mu \vec{H}$

$$\hookrightarrow \vec{\nabla} \cdot \vec{B} = \mu \vec{\nabla} \cdot \vec{H} = -\mu \vec{\nabla}^2 \varphi_M = 0$$

- $\vec{M} = \text{cte}$

$$\hookrightarrow \vec{\nabla} \cdot \vec{B} = \mu_0 \vec{\nabla} \cdot (\vec{H} + \vec{M}) = \mu \vec{\nabla} \cdot \vec{H} = -\mu \vec{\nabla}^2 \varphi_M = 0$$

com ambos os casos :

$$\vec{\nabla}^2 \varphi_M = 0 : \text{Eq. de Laplace}$$

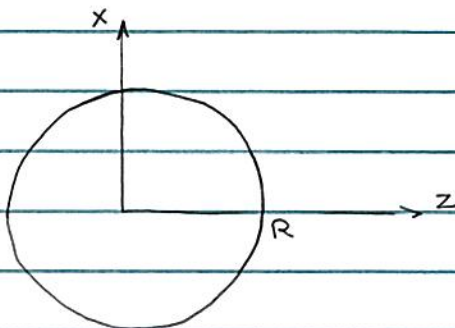
pl função escalar $\varphi_M = \varphi_M(\vec{r})$

notar: situação formalmente análoga àquelas discutidas na eletrostática;

entretanto, as condições de contorno são distintas!

Ex.: considerar esfera radio R, material magnético linear, centro = origem, sob campo magnético uniforme $\vec{B}_0 = B_0 \hat{z}$; determinar $\vec{B}(\vec{r})$.

notar: sistema apresenta simetria azimutal!



Sobre as condições de contorno,

$$- \vec{B}(n \gg R, \theta) = B_0 \hat{z}$$

$$\text{Como } \vec{B} = \mu_0 \vec{H} = -\mu_0 \vec{\varphi}_M \rightarrow \varphi_M(n \gg R, \theta) = -\frac{B_0 z}{\mu_0} = -\frac{B_0 n \cos \theta}{\mu_0}$$

$$- \vec{n}_F = 0$$

$$\hookrightarrow \hat{n} \times (\vec{H}_{out} - \vec{H}_{in}) \Big|_{p=R} = \hat{n} \times (\vec{H}_{out} - \vec{H}_{in}) \Big|_{p=R}$$

$$\hookrightarrow H_{out,\theta}(R, \theta) = H_{in,\theta}(R, \theta), \text{ pois } H_\varphi = 0 !$$

$$- \hat{n} \cdot (\vec{B}_{out} - \vec{B}_{in}) = 0 \rightarrow \hat{n} \cdot (\vec{B}_{out} - \vec{B}_{in})$$

$$\hookrightarrow B_{out,n}(R, \theta) = B_{in,n}(R, \theta) \rightarrow \mu_0 H_{out,n}(R, \theta) = \\ = \mu H_{in,n}(R, \theta)$$

Assumo C.C. :

$$- \varphi_M(n \gg R, \theta) = -\frac{B_0 n \cos \theta}{\mu_0} \quad (1)$$

$$- H_{out,\theta}(R, \theta) = H_{in,\theta}(R, \theta) \quad (2)$$

$$- \mu_0 H_{out,n}(R, \theta) = \mu H_{in,n}(R, \theta) \quad (3)$$

Solução geral (207.3) :

$$\varphi_M(R, \theta) = \sum_{l>0} \left(A_l n^l + \frac{C_l}{n^{l+1}} \right) P_l(\cos \theta)$$

- c.c. (1) $\oplus \quad \varphi_M(n=0, \theta) < +\infty$

$$\hookrightarrow \varphi_M(n, \theta) = \begin{cases} \sum_l A_l n^l P_l(\cos \theta), & n < R \\ \frac{-B_0}{\mu_0} n P_1(\cos \theta) + \sum_l C_l \frac{P_l(\cos \theta)}{n^{l+3}}, & n > R \end{cases}$$

como $\vec{H} = -\vec{\nabla} \varphi_M$

$$\hookrightarrow \vec{H}_{in}(n, \theta) = \sum_l (-l) A_l n^{l-1} P_l(\cos \theta) \hat{n} - A_l n^{l-1} P'_l(\cos \theta) \hat{\theta}$$

$$\vec{H}_{out}(n, \theta) = + \frac{B_0}{\mu_0} P_1(\cos \theta) \hat{n} + \frac{B_0}{\mu_0} P'_1(\cos \theta) \hat{\theta} +$$

$$+ \sum_l \frac{(l+1) C_l}{n^{l+2}} P_l(\cos \theta) \hat{n} - \frac{C_l}{n^{l+2}} P'_l(\cos \theta) \hat{\theta}$$

onde $P'_l(\cos \theta) = \frac{d P_l(\cos \theta)}{d\theta}$

- c.c. (2) : $\sum_l (-l) A_l R^{l-1} P'_l(\cos \theta) = \frac{B_0}{\mu_0} P'_1(\cos \theta) - \sum_l \frac{C_l}{R^{l+2}} P'_l(\cos \theta)$

$$\hookrightarrow -A_1 = \frac{B_0}{\mu_0} - \frac{C_1}{R^3} \quad \text{e} \quad C_l = A_l R^{2l+1}, \quad l \neq 1 \quad (4)$$

- c.c. (3) : $\sum_l \mu(-l) A_l R^{l-1} P_l(\cos \theta) = B_0 P_1(\cos \theta) +$

$$+ \sum_l \frac{\mu_0(l+1) C_l}{R^{l+2}} P_l(\cos \theta)$$

$$\hookrightarrow -\mu A_s = B_0 + \frac{2C_1}{R^3} \quad ; \quad -\mu \ell A_e R^{2\ell+1} = (\ell+1) C_e, \quad \ell \neq 1 \quad (5)$$

$$(4) \text{ e } (5) \rightarrow A_s = -\frac{3B_0}{\mu+\mu_0} ; \quad \frac{C_1}{R^3} = \frac{B_0}{\mu_0} \frac{\mu-\mu_0}{\mu+2\mu_0}$$

$$A_e = C_e = 0, \quad \ell \neq 1$$

$$\hookrightarrow \vec{H}_{in}(r, \theta) = \frac{3B_0}{\mu+2\mu_0} \underbrace{(\hat{n} \cos \theta - \hat{\theta} \sin \theta)}_{\hat{z}} + \frac{3\vec{B}_0}{\mu+2\mu_0}$$

$$\vec{H}_{out}(r, \theta) = \frac{1}{\mu_0} \vec{B}_0 + \frac{B_0}{\mu_0} \frac{\mu-\mu_0}{\mu+\mu_0} \underbrace{\left(\frac{R}{r}\right)^3}_{3(\hat{z} \cdot \hat{n}) \hat{n} - \hat{z}} (2 \cos \theta \hat{n} - \sin \theta \hat{\theta})$$

- p/ $r < R$,

$$\vec{B}_{in} = \mu \vec{H}_{in} = \frac{3\mu}{\mu+2\mu_0} \vec{B}_0 = \mu_0 (\vec{H}_{in} + \vec{M})$$

$$\hookrightarrow \vec{M} = \frac{3}{\mu_0} \frac{\mu-\mu_0}{\mu+2\mu_0} \vec{B}_0 \quad (250.1)$$

$$\hookrightarrow \vec{K}_M = \vec{M} \times \hat{n} = \frac{3}{\mu_0} \frac{\mu-\mu_0}{\mu+2\mu_0} B_0 (\hat{z} \times \hat{n}) = \frac{3(\mu-\mu_0)}{\mu_0(\mu+2\mu_0)} B_0 \sin \theta \hat{\phi} \quad (250.2)$$

$$\hookrightarrow \vec{J}_M = \vec{\nabla} \times \vec{M} = 0$$

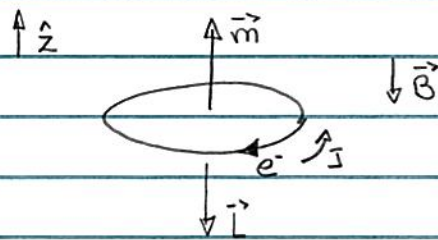
notas Eqs. (250.1) relação entre sentidos \vec{M} e \vec{B}_0 é
 e (250.2): sentido \vec{K}_M : \neq pr PARAM.
 é DIAG.

sobre diamagnetismo (p/ detalhes veja Sec. 11.5 Puccelli)

ideia: verificam que diamagnetismo \sim movimento orbital e-

vamos considerar modelo microscópico clássico

considerar elétron mov. circulam ao redor núcleo



v : velocidade e-

n : radio órbita

T : período órbita

m_e : massa elétron

(i) $\vec{B} = 0$,

$$\text{neste caso: } I = \frac{q}{T} = \frac{q}{2\pi n/v} = \frac{qv}{2\pi n}$$

$$\hookrightarrow m = \pi n^2 I = \frac{1}{2} qvn \rightarrow \vec{m} = \frac{1}{2} qvn \hat{z} : \text{momento de dipolo e-}$$

notar: como $L = m v r \rightarrow \vec{m} = -\frac{e}{2me} \vec{L}$ p/ elétron.

(ii) $\vec{B} = -B \hat{z}$

considerar At tal que $B: 0 \rightarrow B$

venemos que (Lei de Faraday):

$$\oint_{\Gamma} \vec{E} \cdot d\vec{e} = - \frac{d\phi_B}{dt} = - \frac{d}{dt} \int_S \vec{B} \cdot d\vec{s}$$

↳ trajetória
elétrona

↳ área circular
definida por r .

$$\int_0^{2\pi} (\vec{E} \hat{r}) \cdot (n d\varphi \hat{\varphi}) = - \frac{d}{dt} \int (-B\hat{z}) \cdot (ds \hat{z})$$

$$2\pi n E = + \pi n^2 dB \rightarrow E = \frac{1}{2} n \frac{dB}{dt}$$

$$\text{Como } \frac{d\phi}{dt} = qE = \frac{1}{2} q n \frac{dB}{dt}$$

$$\hookrightarrow \int_{v_0}^{v_0 + \Delta v} d\phi = \frac{1}{2} \frac{q n}{m_e} \int_0^B dB \rightarrow \Delta v = \frac{1}{2} \frac{q n}{m_e} B$$

$$\text{Como } m = \frac{1}{2} q v n$$

$$\hookrightarrow \Delta m = \frac{1}{2} q n \Delta v = \frac{q^2 n^2}{4 m_e} B : \vec{B}_{ext} \text{ atrae } \vec{m} \text{ elétron}$$

de fato, temos que

$$\Delta \vec{m} = - \frac{q^2 n^2}{4 m_e} \vec{B} : \Delta \vec{m} \text{ varia sentido oposto a } \vec{B}_{ext} !$$

Obs.: p/ revisão campos estáticos, veja Cap. I, Manion